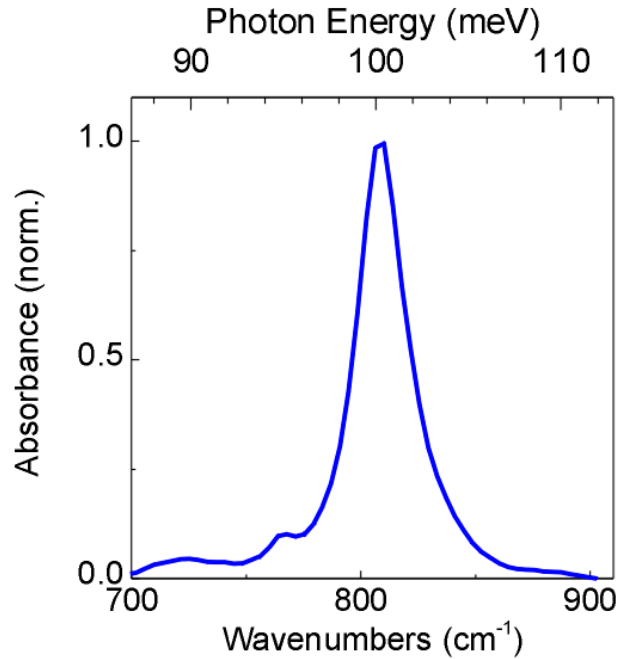
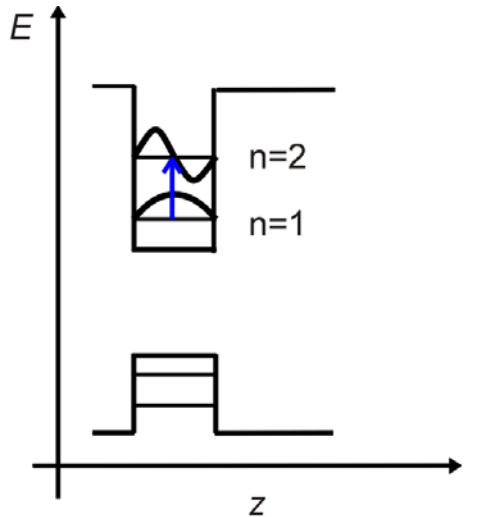
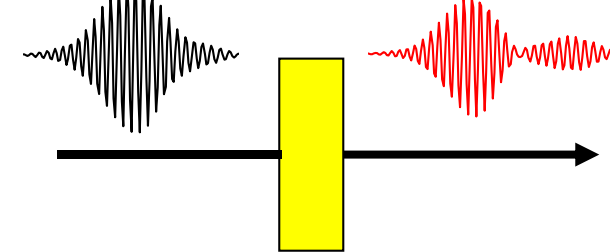


Zeitabhängige kohärente Intersubband-Polarisationen



Experiment:



Nachweis des transmittierten
Lichts in Amplitude und Phase.

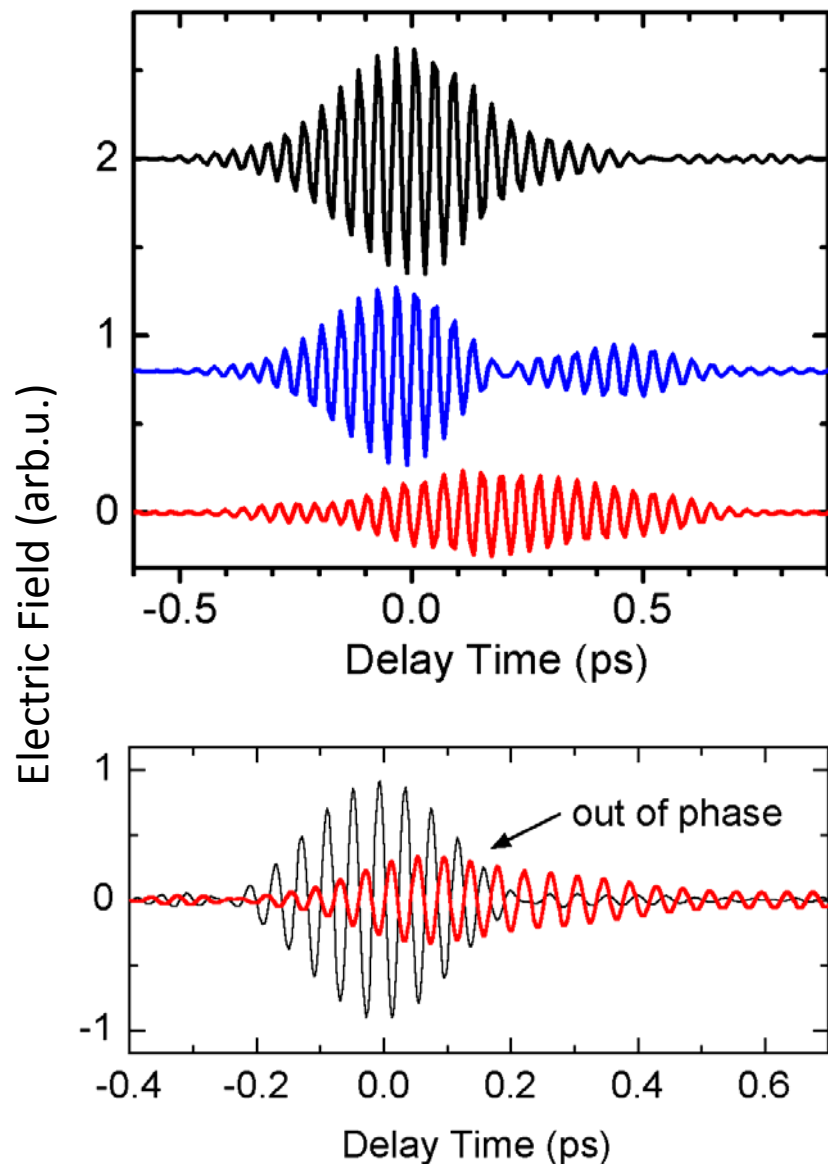
Resonante Intersubbandanregung durch Femtosekunden-Infrarotimpuls.

Kohärente Intersubband-Polarisation emittiert kohärenten Wellenzug.

$$E_{em}(t) = -\frac{1}{2\varepsilon_0 cn} \frac{\partial P_{IS}}{\partial t} = -\frac{1}{2\varepsilon_0 cn} \frac{\partial (P_0 \exp(-i\Omega t))}{\partial t}$$

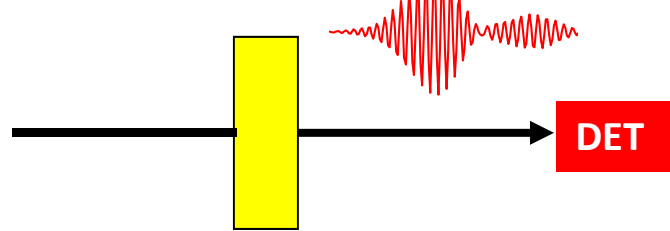
Probe: 50 GaAs/AlGaAs Quantentröge, d=10 nm, Elektronendichte $N=5\times 10^{10} \text{ cm}^{-2}$

Femtosekunden-Dynamik der Intersubband-Polarisation



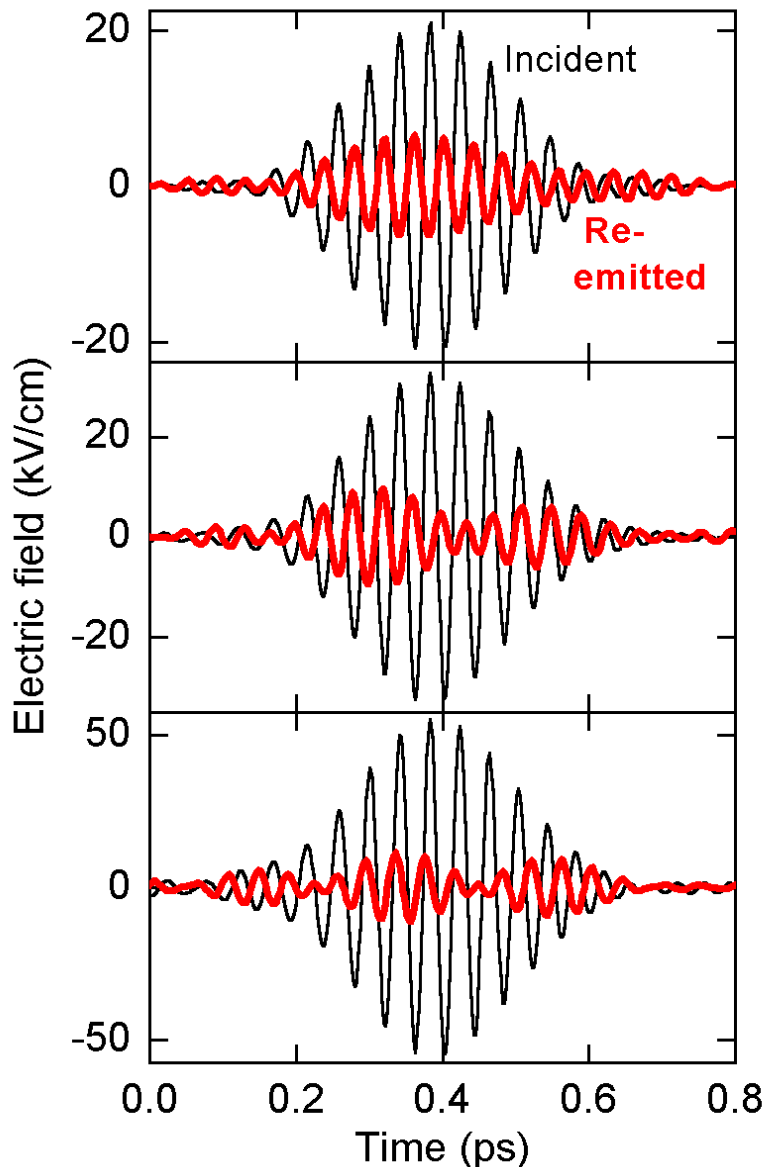
Transmittiertes Licht: abgeschwächter
Impuls
+ kohärente Emission.

Freier Induktionszerfall der
Intersubband-Polarisation in 0.5 bis 1 ps
(Dephasierungszeit 320 fs).



R. Kaindl et al., Phys. Rev. Lett. 80, 3575 (1998); Phys. Rev. B 63, 161308 (2001)

Intersubband Rabi-Oszillationen



Nichtlineares Verhalten:

- Nullstellen des emittierten Feldes während Anregung.
- Phasensprung von π im emittierten Feld.
- Sättigung des emittierten Feldes.

Direkte Beobachtung von Intersubband Rabi-Oszillationen.

C.W. Luo et al., Phys. Rev. Lett. 92, 047402 (2004)

Rabi-Oszillationen: Optische Bloch Gleichungen

Kohärentes elektrisches Feld $E(t)$ der Frequenz ω treibt Dipolübergang in einem Ensemble von 2-Niveau-Systemen.

Rabi frequency:

$$\Omega_R(t) = \frac{\mu_{01} E(t)}{\hbar}$$

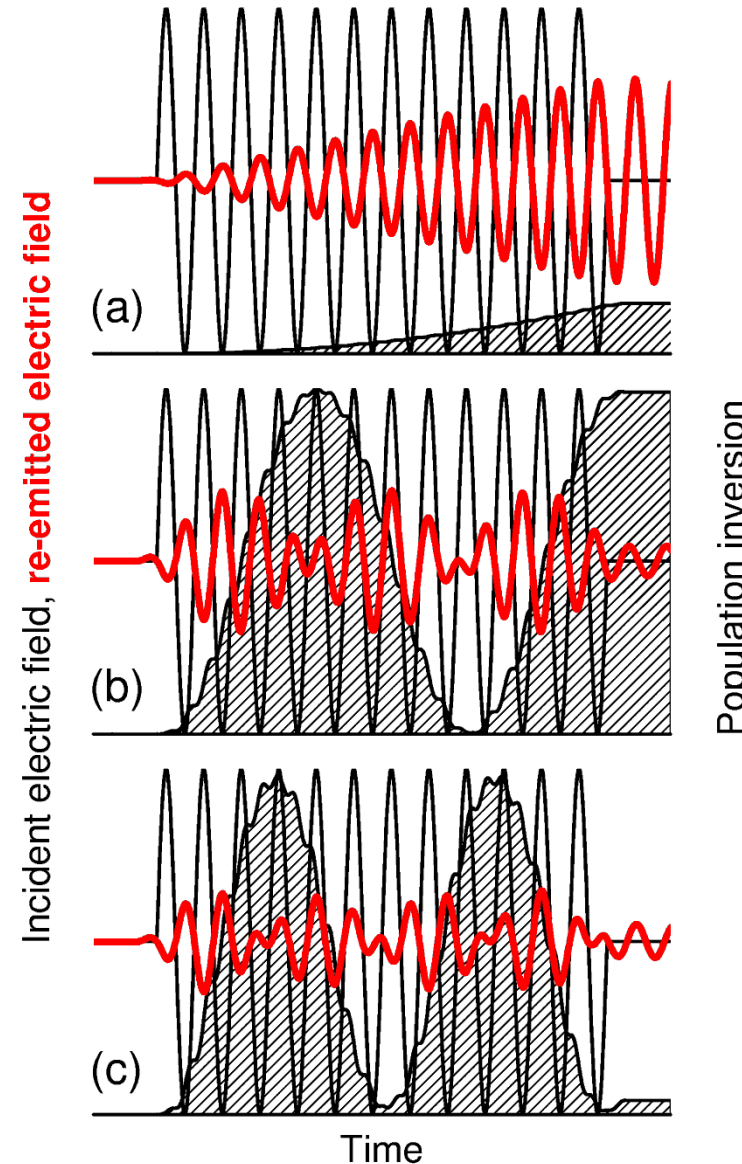
Resonante Anregung ($\omega = \omega_{12}$), $T_1, T_2 \rightarrow \infty$

Besetzungsinvolution $\Delta N(t) = N_1(t) - N_0(t)$

Polarisation $P(t)$ emittiert elektrisches Feld.

(a,b): noninteracting 2-level systems.

(c): interacting 2-level systems.



Population inversion